



منطقه‌بندی حوزه‌های آبخیز با به کارگیری نوعی از شبکه‌های عصبی مصنوعی به منظور تحلیل فراوانی منطقه‌ای سیلاب

علی آهنی^۱, صمد امامقلیزاده^۲, سیدسعید موسوی ندوشنی^۳ و خلیل ازدری^۴

۱- دانشجوی کارشناسی ارشد، دانشگاه صنعتی شاہروود، (تویسندۀ مسؤول: ali.ahani66@yahoo.com)

۲- دانشیار، دانشگاه صنعتی شاہروود

۳- استادیار، دانشگاه شهید بهشتی

تاریخ دریافت: ۹۳/۳/۱ تاریخ پذیرش: ۹۴/۷/۲۲

چکیده

نگاشت‌های خودسازمانده یکی از انواع شبکه‌های عصبی مصنوعی هستند که قابلیت آن‌ها در تشخیص الگو و خوشبندی داده‌ها، آن‌ها را به ابزاری قابل توجه در زمینه‌ی منطقه‌بندی حوزه‌های آبخیز به منظور اجرای تحلیل فراوانی منطقه‌ای سیلاب تبدیل کرده است. در این مطالعه، توانایی نگاشت‌های خودسازمانده در منطقه‌بندی حوزه‌ی آبخیز سفیدرود به منظور اجرای تحلیل فراوانی منطقه‌ای سیلاب با استفاده از الگوریتم گشتاورهای خطی مورد بررسی قرار گرفته است. نتایج به دست آمده بیانگر آن است که نگاشت‌های خودسازمانده می‌توانند به عنوان روشی قابل قبول در زمینه‌ی خوشبندی داده‌ها و منطقه‌بندی حوزه‌های آبخیز به کار گرفته شوند. بررسی مقادیر شاخص‌های صحت خوش‌نشان داد که این شاخص‌ها به تهایی نمی‌توانند تعیین کننده‌ی منطقه‌بندی مطلوب برای تحلیل فراوانی منطقه‌ای باشند، بلکه این وضعیت همگنی مناطق است که عامل اساسی در تعیین منطقه‌بندی مطلوب است. بر اساس وضعیت همگنی مناطق و بزرگی مناطق تشكیل شده، حالت‌های دو منطقه‌ای حاصل از به کارگیری الگوریتم‌های وارد و نگاشت‌های خودسازمانده به عنوان حالت‌های بهینه به منظور اجرای تحلیل فراوانی منطقه‌ای سیلاب برای حوزه‌ی آبخیز سفیدرود، انتخاب شدند. افزون بر این، نتایج حاصل از برآورد سیلاب در تحلیل نقطه‌ای و دو تحلیل منطقه‌ای گویای آن بود که برآوردهای حاصل از دو تحلیل منطقه‌ای سیلاب به هم نزدیک بوده و اختلاف نسبی آن‌ها به طور میانگین در حدود ۱٪ است. هم‌چنین، اختلاف نسبی آن‌ها با برآوردهای حاصل از تحلیل نقطه‌ای نیز در هیچ‌یک از ایستگاه‌ها از ۱۷٪ تجاوز نمی‌کند و مقدار میانگین آن تقریباً برابر ۸٪ است.

واژه‌های کلیدی: نگاشت خودسازمانده، منطقه‌بندی، خوشبندی، گشتاورهای خطی

مقدمه

تحلیل فراوانی سیلاب^۱، روشی برای برآورد بزرگ سیلاب با دوره‌ی بازگشت معین و یا برآورد دوره‌ی بازگشت یک سیلاب با بزرگی معین در محل موردنظر است. تحلیل فراوانی سیلاب دارای دو رویکرد اصلی نقطه‌ای^۲ و منطقه‌ای^۳ است.

در تحلیل فراوانی منطقه‌ای سیلاب با گردآوری حوزه‌ها در مناطق همگن و افزایش داده‌های آماری مورد استفاده برای استخراج توزیع فراوانی، میزان اعتمادپذیری افزایش یافته و امکان برآورد سیلاب با دوره‌های بازگشت طولانی‌تر فراهم می‌شود. همچنین رویکرد منطقه‌ای، امکان برآورد سیلاب برای نقاط فاقد داده‌های سیلاب را فراهم می‌کند.

پس از بررسی کیفیت و صحت داده‌ها، نخستین مرحله‌ی اساسی در تحلیل فراوانی منطقه‌ای سیلاب، منطقه‌بندی^۴ است که در آن هدف، تشكیل مناطقی از حوزه‌های دارای مکانیزم تولید سیلاب مشابه است. رویکردهای مختلفی برای اجرای منطقه‌بندی وجود دارند که یکی از پرکاربردترین آن‌ها استفاده از روش‌های تحلیل خوشبندی^۵ است. پژوهشگران مختلفی روی ابعاد گوناگون استفاده از روش‌های تحلیل خوشبندی برای اجرای منطقه‌بندی در تحلیل فراوانی منطقه‌ای سیلاب مطالعه کرده‌اند. روش‌های خوشبندی را می‌توان به دو گروه خوشبندی سخت و خوشبندی فازی تقسیم کرد که الگوریتم‌های خوشبندی سخت، خود به دو گروه الگوریتم‌های سلسله‌مراتبی^۶ و الگوریتم‌های افزایی^۷ قابل

تقسیم‌بندی هستند. همچنین به منظور بهره‌گیری از نقاط قوت هر دو گروه الگوریتم‌های سلسله‌مراتبی و افزایی، از الگوریتم‌های خوشبندی ترکیبی استفاده می‌شود^(۱). نوع خاصی از شبکه‌های عصبی مصنوعی به نام نگاشت‌های شخصی خودسازمانده^(۲) یا نگاشت‌های خودسازمانده^(۳) دارای توانایی ویژه‌ای در زمینه‌ی یادگیری بدون نظارت^(۴) و خوشبندی داده‌ها هستند و از این‌رو می‌توانند برای منطقه‌بندی حوزه‌های آبخیز مورد استفاده قرار گیرند. دو مدل مختلف از شبکه‌های عصبی خودسازمانده وجود دارد^(۵) که عبارتند از: ویشاو- فون درمالزبرگ^(۶) (۲۰) و مدل کوهون^(۷) (۱۰). مدل نخست به طور ویژه برای نگاشت در جایی که ابعاد فضای ورودی با ابعاد فضای خروجی بسان است کاربرد دارد، در حالی که مدل دوم قادر به تولید نگاشت‌هایی از فضاهایی ورودی با تعداد ابعاد بالا به فضاهای خروجی با تعداد ابعاد پایین‌تر است. در مطالعات هیدرولوژیک مدل کوهون بیشتر مورد توجه قرار گرفته است. هال و مینز^(۸,۹) از شبکه‌ی کوهون برای منطقه‌بندی مجموعه‌ای از ۱۰۱ ایستگاه هیدرومتری در جنوب غربی انگلیس و ولز استفاده کردند.

هال و همکاران^(۱۰) SOFM یک بعدی^(۱۱) را برای سه مجموعه از جنوب غربی انگلیس و ولز، ولز و اسکاتلند و جزایر جاوه و سوماترا در اندازه‌ی کار گرفتند. این مطالعات در مورد صحت‌ستجی مناطق تشكیل شده با استفاده از شاخص‌های ناهمگنی^(۱۲)، چیزی گزارش نکردند. با این حال، استفاده کردند.

1- Flood Frequency Analysis

4- Regionalization

7- Fuzzy Clustering

10- Self-Organizing Feature Maps (SOFM)

13- Willshaw – Von Der Malsburg

16- Heterogeneity Measures

2- At-Site

5- Cluster Analysis

8- Hierarchical Algorithms

11- Self-Organizing Maps (SOM)

14- Kohonen

3- Regional

6- Hard Clustering

9- Partitional Algorithms

12- Unsupervised Learning

15- I-D

خوشه‌ای غیرخطی شامل SOFM را برای تشکیل خوشه‌های همگن هیدرولوژیک حوزه‌های آبخیز اوتاریو در کاتانا مورد مطالعه قرار دادند و اعلام کردند که این روش‌های غیرخطی می‌توانند ابزار توانمندی برای منطقه‌بندی حوزه‌های فاقد آمار باشند.

از دیگر کاربردهای SOFM در پژوهش‌های مرتبط با مهندسی آب می‌توان به مطالعه‌ی طباطبائی و همکاران (۱۸) اشاره کرد که در آن از SOFM برای اجرای خوشه‌بندی به منظور برآورد غلظت رسوب معلق روزانه ایستگاه هیدرومتری سیرا استفاده کردند.

هدف این مطالعه، بررسی کارایی نگاشته‌های خودسازمانده در منطقه‌بندی حوزه‌ی آبخیز سفیدرود به منظور تحلیل فراوانی منطقه‌ای سیالاب مورد مطالعه قرار گرفته است. بدین منظور کیفیت خوشه‌بندی اجرا شده توسط این روش با استفاده از شاخص صحت خوشه‌بندی ارزیابی می‌شود. همگنی مناطق تشکیل شده نیز با استفاده از شاخص‌های تاهمگنی مورد بررسی قرار می‌گیرند. همچنین نتایج به دست آمده با نتایج حاصل از به کارگیری تعدادی از الگوریتم‌های خوشه‌بندی سلسه‌مراتبی، مقایسه می‌شوند تا میزان کارایی این روش به نسبت روش‌های معمول سنجیده شود.

مواد و روش‌ها

معرفی حوزه‌ی آبخیز سفیدرود
حوزه‌ی آبخیز سفیدرود بعد از حوزه‌ی دریاچه‌ی نمک از نظر اراضی قابل ایاری بزرگ‌ترین حوزه‌ی کشور است. مساحت این حوزه ۶۳۹۴۵ کیلومتر مربع می‌باشد و به خاطر وجود اقلیم‌های متفاوت و منابع غنی آب و خاک از اهمیت خاصی برخوردار است. این حوزه در محل تلاقی رشته کوه‌های البرز، زاگرس و مرکزی واقع شده و در تقسیم‌بندی‌های طرح جامع آب به عنوان حوزه‌ی سوم از منطقه‌ی اول مطالعاتی مشخص شده است. این حوزه‌ی آبخیز از دو شاخه‌ی رودخانه‌ای اصلی به نام قزل اوزن و شاهروд تشکیل یافته است که در محل سد سفیدرود به هم می‌پیوندند و رودخانه سفیدرود را تشکیل می‌دهند. ذیفغان این حوزه، مطابق شکل یک استان‌های آذربایجان شرقی، اردبیل، تهران، زنجان، قزوین، کردستان، گیلان و همدان می‌باشند. در این تحقیق تعداد ۳۹ ایستگاه هیدرومتری این حوزه که دارای اطلاعات مورد نیاز جهت اجرای خوشه‌بندی ترکیبی بودند، انتخاب شدند.

جینگی و هال (۸) شاخص‌های ناهمگنی هاسکینگ و والیس (۷) را برای ارزیابی همگنی^۱ مناطق مشخص شده به وسیله‌ی SOFM یک بعدی از ۸۶ ایستگاه هیدرومتری در چن به کار گرفتند.

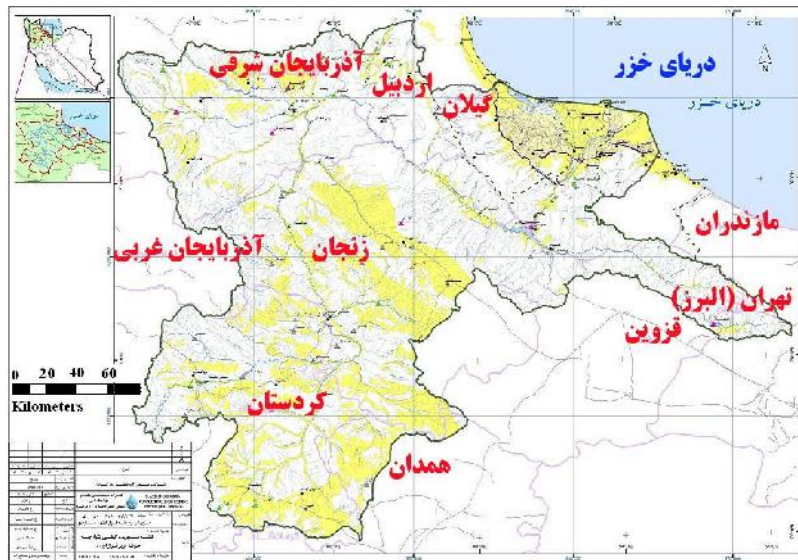
لین و چن (۱۳)، SOFM را برای تشکیل مناطق به منظور تحلیل فراوانی منطقه‌ای سیالاب به کار گرفتند. آن‌ها اعلام کردند که SOFM نسبت به دیگر روش‌های خوشه‌بندی توانایی بالاتری در تشکیل مناطق همگن دارند و آن را به عنوان گزینه‌ای مناسب برای تشکیل مناطق همگن معرفی کردند. سرینیواس و همکاران (۷)، یک رویکرد دو مرحله‌ای مبتنی بر SOFM را برای منطقه‌بندی حوزه‌های آبخیز معرفی کردند. در این رویکرد SOFM در ترکیب با الگوریتم فازی c-means به کار گرفته شد. نتایج به دست آمده نشان داد که عملکرد این روش در زمینه‌ی برآورد چندک‌های سیالاب در ایستگاه‌های فاقد آمار در مقایسه با روش‌های تحلیل رگرسیون و تحلیل همبستگی کانونی^۲ بهتر است.

دی پرینزیو و همکاران (۲)، SOFM را برای منطقه‌بندی بیش از ۳۰۰ حوزه در ایتالیا به کار گرفتند. آن‌ها SOFM را برای منطقه‌بندی بر اساس ویژگی‌های حوزه‌ها و همچنین متغیرهای حاصل از تحلیل مؤلفه‌های اصلی^۳ و تحلیل همبستگی کانونی مورد استفاده قرار دادند و اعلام کردند که استفاده از PCA و CCA در بهمود عملکرد SOFM در زمینه‌ی منطقه‌بندی به منظور تحلیل فراوانی منطقه‌ای تأثیر قابل توجهی دارد. همچنین لی و همکاران (۱۲) SOFM را برای خوشه‌بندی ۵۳ حوزه در آلمان مورد استفاده قرار دادند. آن‌ها خوشه‌بندی را یک مرتبه بر اساس ویژگی‌های حوزه‌ها و بار دیگر بر مبنای پاسخ هیدرولوژیک حوزه‌ها اجرا کردند و بیان کردند که خوشه‌بندی‌های حاصل از این دو رویکرد در ۶۷٪ موارد دارای مشابهت هستند.

کار و همکاران (۹) نیز عملکرد روش‌های مختلف خوشه‌بندی از جمله SOFM را در مطالعه‌ای بر روی یک حوزه‌ی آبخیز در هندوستان مورد بررسی قرار داده و از مقایسه‌ی نتایج آن‌ها برای تعیین تعداد بهینه‌ی مناطق استفاده کردند.

تات (۱۹) از SOFM برای گروه‌بندی ۴۴ حوزه‌ی آبخیز در ایتالیا با استفاده از ویژگی‌های سری‌های زمانی بارندگی و جریان استفاده کرد و نتیجه گرفت که این روش می‌تواند یک راه مطمئن برای نشان دادن بهتر ارتباط ویژگی‌های هیدرولوژیک و اقلیمی حوزه‌ها باشد.

رضوی و کولیبالی (۱۵)، کاربرد تکنیک‌های تحلیل



شکل ۱- موقعیت جغرافیایی حوزه‌ی آبخیز (قزل اوزن) (شرکت مهندسی مشاور مهاب قدس)

Figure 1. Geographical location of Sefidroud (Ghezel-Owzan) basin (Mahab Ghodss Consulting Engineering Company)

نرم‌افزار و زبان برنامه‌نویسی R

در این مطالعه، برای اجرای محاسبات و عملیات مربوط به خوشبندی با استفاده از شبکه‌ی کوهون و تحلیل فراوانی منطقه‌ای از محیط زبان برنامه‌نویسی آماری R (نسخه ۳.۰.۲) و بسته‌های kohonen و ImomRFA استفاده شده است.

غربال کردن داده‌ها

پیش از تشکیل مناطق، شاخص ناجوری D (۷) برای شناسایی ایستگاه‌هایی که از نظر آماری با سایر ایستگاه‌های مورد بررسی ناسازگارند، محاسبه می‌شود. این شاخص بر اساس نسبت‌های گشتاورهای خطی محاسبه می‌شود و برای مجموعه‌ای شامل ۱۵ ایستگاه یا بیشتر، ایستگاه‌های دارای D برابر ۳ یا بزرگ‌تر، به عنوان ایستگاه ناجور در نظر گرفته می‌شوند (۷). جزئیات بیشتر برای مطالعه در مورد گشتاورهای خطی در منبع (۷) در دسترس است.

انتخاب ویژگی‌ها و تشکیل بردارهای مشخصه

از میان ویژگی‌های مؤثر بر واکنش سیالی ایستگاه‌های مورد نظر در حوزه، با توجه به آمار و اطلاعات مورد اعتماد در دسترس، طول و عرض جغرافیایی به عنوان ویژگی‌های جغرافیایی، مساحت سطح زهکشی و ارتفاع حوزه به عنوان ویژگی‌های فیزیوگرافیک، ضریب رواناب به عنوان نماینده‌ای از ویژگی‌های پوشش سطح، جنس خاک و نفوذیت‌بری حوزه و متوسط بارندگی سالانه به عنوان یک ویژگی هواشناسی جهت استفاده در عملیات خوشبندی انتخاب شدند. مشخصات آماری کلی این ویژگی‌ها برای ایستگاه‌های مورد مطالعه در جدول یک ارائه شده است.

هر بردار مشخصه^۲ از ویژگی‌های تجدید مقیاس شده^۳ (بدون بعد) یک حوزه‌ی آبخیز تشکیل می‌شود. در میان ویژگی‌های منتخب در این مطالعه، مساحت سطح زهکشی

ایستگاه‌ها با لگاریتم آن‌ها جایگزین شد.
داده‌های موجود برای هر ویژگی، برای ختنی کردن تفاوت‌ها در واریانس‌ها و بزرگی نسبی آن‌ها، تجدید مقیاس می‌شوند (۴). در این مطالعه برای تجدید مقیاس ویژگی‌ها از روش استانداردسازی^۴ داده‌ها استفاده شده است.
اگر y_k نماینده‌ی k امین بردار مشخصه در فضای n بعدی با محورهای مختصاتی به نامهای (y_1, y_2, \dots, y_n) باشد، $y_{ik} = [y_1k, y_2k, \dots, y_nk] \in R^n$ و y_{ik} معرف مقدار ویژگی i در k امین بردار مشخصه n بعدی y_k است، که برای استانداردسازی داده‌ها از رابطه یک استفاده می‌شود:

$$x_{ik} = \frac{y_{ik} - \bar{y}_{ik}}{\sigma_i} \quad (1)$$

for $1 \leq i \leq n, 1 \leq k \leq L$

که در آن x_{ik} : نشان‌دهنده مقدار تجدید مقیاس شده y_{ik} است، \bar{y}_{ik} : معرف انحراف معيار ویژگی i است و N : تعداد بردارهای مشخصه n بعدی را نشان می‌دهد.

الگوریتم‌های سلسه‌مراتبی
الگوریتم‌های خوشبندی سلسه‌مراتبی که گروهی از الگوریتم‌های پرکاربرد در زمینه‌ی منطقه‌بندی هستند، خود به دو زیرگروه^۵ الگوریتم‌های متراکم کننده^۶ و الگوریتم‌های تقسیم کننده^۷ دسته‌بندی می‌شوند که از این میان، الگوریتم‌های متراکم کننده در منطقه‌بندی کاربرد بیشتری یافته‌اند.

برای مجموعه‌ای از N بردار مشخصه، روش‌های خوشبندی سلسه‌مراتبی متراکم کننده با N خوشبندی تکی آغاز می‌شوند. یک معیار فاصله مانند فاصله اقلیدسی برای ارزیابی اختلاف بین دو خوشبندی و یا بردارهای مشخصه انتخاب می‌شود. خوشبندی که کمترین اختلاف را با یکدیگر دارد مخصوص شده و به هم می‌پیوندد. این امر به تشکیل $N-2$

1- discordancy measure

2- Feature Vector

3- Rescaled

4- Standardization

5- Agglomerative

6- Divisive

تعداد خوشه‌های موجود پس از n مرتبه ادغام برابر $N-n$ است (۱۴).

خوشه‌ی تکی و یک خوشه شامل دو بردار مخصوصه منجر می‌شود. فرآیند تشخیص و ادغام دو خوشه‌ی نزدیک تا رسیدن به تعداد مطلوب خوشه‌ها تکرار می‌شود. به طور کلی

جدول ۱- مشخصات آماری ویژگی‌های برگزیده‌ی ایستگاه‌های مورد مطالعه

Table 1. Statistical characteristics of selected attributes of the interested stations

احرف میار	میانگین	ویژگی
۱/۳۰	۴۸/۷۰	طول جغرافیایی (dd)
۰/۷۴	۳۶/۵۹	عرض جغرافیایی (dd)
۱۲۰-۴/۵۱	۵۸۱۷/۵۱	سطح زمکشی (km ²)
۲۲۷/۶۲	۴۶/۷۰	متوسط بارندگی سالانه (mm)
۰/۳۳	۰/۴۷	ضریب رواناب

باشد. برای یک SOFM یک بعدی، هال و مینز (۴) مقدار m را برابر حداقل $2C_{EXP}$ انتخاب کردند، در حالی که هال و همکاران (۵) مقدار آن را حداقل برابر $3C_{EXP}$ در نظر گرفتند. برای مطالعه‌ی بیشتر در مورد الگوریتم نگاشت خودسازمانده کوهونن می‌توان به منبع (۶) مراجعه کرد. در این مطالعه، شبکه‌های کوهونن خطی مورد بررسی قرار گرفته‌اند.

شاخص‌های صحت خوشه

خوشه‌های تشکیل شده به صورت بصری و با استفاده از شاخص‌های صحت خوشه^۷ برای تعیین کیفیت خوشبندی و تعداد بهینه‌ی خوشه‌ها تفسیر می‌شوند. در مطالعه‌ی حاضر از میان شاخص‌های سنجش صحت خوشه، چهار شاخص عرض نیمرخ^۸، شاخص دبیوس-بولدین^۹، شاخص دان^{۱۰} و شاخص کالینسکی-هاراباز^{۱۱} به دلیل عملکرد قابل قبول در مطالعات پیشین انتخاب شده‌اند (۱۴).

مقدار شاخص عرض نیمرخ در محدوده ۱-۰+۱+جای می‌گیرد. چنان‌چه مقدار این شاخص نزدیک به یک باشد، می‌توان این طور نتیجه‌گیری کرد که خوشبندی از کیفیت خوبی برخوردار است و از سوی دیگر چنان‌چه مقدار آن به منهای یک نزدیک باشد، می‌توان استنتاج کرد که خوشبندی به شکل مناسبی صورت نگرفته است (۱۴). یک مقدار کوچک برای شاخص دبیوس-بولدین، نشان‌دهنده‌ی یک افزار خوب است که متناظر با خوشه‌هایی فشرده است که مراکز آن‌ها از یکدیگر دور هستند. در مورد شاخص دان، تعداد بهینه‌ی خوشه‌ها، گرهنگی‌ای است که مقدار این شاخص به ازای آن پیشینه می‌شود.

در مورد شاخص کالینسکی-هاراباز نیز، مقدار پیشینه شاخص، معرف افزار بهینه است (۱۴).

آزمون همگنی مناطق

در این تحقیق همگنی مناطق حاصل از عملیات خوشبندی، با استفاده از شاخص‌های ناهمگنی H مورد ارزیابی قرار گرفتند. سه شاخص ناهمگنی H_1 و H_2 و H_3 بر اساس گشتاورهای خطی تعریف می‌شوند. در هر منطقه اگر $H < 1$ باشد، منطقه همگن، اگر $2 > H \geq 1$ باشد، منطقه نسبتاً ناهمگن و اگر $H \geq 2$ باشد، منطقه کاملاً ناهمگن است (۷). منطقی که بیشتر به حالت ناهمگنی نزدیک هستند، به منظور بهبود وضعیت همگن‌شان می‌توانند با حذف یک یا چند ایستگاه که تأثیر بیشتری در افزایش ناهمگنی

در این مطالعه از میان الگوریتم‌های خوشبندی سلسله‌مراتبی چهار الگوریتم تک‌پیوند^{۱۲}، تمام‌پیوند^{۱۳}، پیوندمتوسط^{۱۴} و الگوریتم وارد^{۱۵} مورد استفاده و بررسی قرار گرفته‌اند. در الگوریتم تک‌پیوند، فاصله‌ی بین دو خوشه، عبارت است از فاصله‌ی بین نزدیک‌ترین جفت بردارهای مشخصه که هر یک از آن‌ها متعلق به یکی از دو خوشه استند. در الگوریتم تمام‌پیوند، فاصله‌ی میان دو خوشه به صورت فاصله‌ی دو بردار مشخصه از دو خوشه تعریف می‌شود که بیش‌ترین فاصله را با یکدیگر دارند. در الگوریتم پیوندمتوسط، فاصله‌ی بین دو خوشه به صورت فاصله‌ی متوسط بین آن‌ها بیان می‌شود. این فاصله‌ی متوسط می‌تواند به شکل میانه‌ی فواصل بین بردارهای مشخصه یا میانگین‌های وزنی یا غیروزنی فواصل بردارهای مشخصه دو خوشه تعریف شود (۱۴).

الگوریتم وارد یک روش پرکاربرد برای مطالعات منطقه‌بندی در هیدرولوژی است. این الگوریتم مبتنی بر این فرض است که اگر دو خوشه به هم بیپیوندند، تغییر در مقدار تابع هدف، تنها به رابطه‌ی بین این دو خوشه وابسته است و به روابط با دیگر خوشه‌ها بستگی ندارد (۱۴). روابط مختلفی برای سنجش فاصله‌ی میان هر دو بردار مشخصه وجود دارد که در این مطالعه از تعریف فاصله‌ی اقلیدسی استفاده شده است.

نگاشت‌های خودسازمانده کوهونن

SOFM کوهونن دارای یک لایه‌ی ورودی و یک لایه‌ی خروجی است که هر یک شامل تعدادی گره است. تعداد گره‌ها در لایه‌ی ورودی مساوی تعداد ویژگی‌های در نظر گرفته شده برای منطقه‌بندی است. هر گره در لایه‌ی ورودی به وسیله‌ی اتصالات سینپاتیک^{۱۶} به تمام گره‌ها لایه‌ی خروجی متصل می‌شود. به همراه هر اتصال، یک وزن اتصال وجود دارد (۶).

تعداد گره‌ها در لایه‌ی ورودی SOFM برابر ابعاد بردار مشخصه، یعنی n است. لایه‌ی خروجی، که لایه‌ی رقابتی یا لایه‌ی کوهونن نیز خوانده می‌شود، دارای m گره است که در یک شبکه که معمولاً یک یا دو بعدی است، سازماندهی شده است. مقدار m می‌تواند به صورت حداقل تعداد مورد نظر برای تشکیل خوشه‌ها انتخاب شود (۱۴). در زمینه‌ی منطقه‌بندی در هیدرولوژی، مقدار m عموماً به گونه‌ای انتخاب می‌شود که بزرگ‌تر از تعداد خوشه‌های مورد انتظار C_{EXP}

1- Single Linkage

4- Ward's Algorithm

7- Cluster Validity Measure

10- Dunn's Index

2- Complete Linkage

5- Synaptic

8- Silhouette Width

11- Calinski - Harabasz index

3- Average Linkage

6- Competitive Layer

9- Davies - Bouldin Index

برآورد سیلاپ در تحلیل فراوانی منطقه‌ای تا زمانی قابل اعتماد است که تعداد سال‌های آمار موجود در ایستگاه‌های یک منطقه بزرگ‌تر یا مساوی پنج برابر دوره‌ی بازگشت مورد نظر جهت برآورد بزرگ‌ترین سیلاپ باشد (۴). از این رو تعداد ایستگاه‌های موجود در هر منطقه و سال‌های آماری موجود برای هر یک از آن‌ها عملی تعیین کننده در انتخاب تعداد خوش‌ها است. در این مطالعه، ترتیب حاصل از اختصاص ایستگاه‌های موجود در حوزه‌ی آبخیز سفیدرود بزرگ به دو تا پنج خوش‌ها یا منطقه مورد ارزیابی قرار گرفته است.

در ادامه خوش‌بندی ۳۷ ایستگاه هیدرومتری مورد نظر با استفاده از چهار الگوریتم سلسه مراتبی معرفی شده و شبکه‌های کوهونن با دو تا پنج گره در لایه‌ی خروجی برای حالت‌های دو تا پنج منطقه‌ای اجرا شد. در شکل دو اندازه‌ی هریک از خوش‌ها یا مناطق تشکیل شده با استفاده از الگوریتم‌های خوش‌بندی مورد استفاده در مراحل دو تا پنج خوش‌ای نشان داده شده است. منظور از اندازه‌ی خوش‌ها یا مناطق، همان تعداد ایستگاه‌های جای گرفته در هر خوش‌ها یا منطقه است. شکل سه نیز نمودار جعبه‌ای اندازه‌ی مناطق تشکیل شده به‌وسیله‌ی الگوریتم‌های خوش‌بندی در حالت‌های دو تا پنج خوش‌ای را نشان می‌دهد. آن‌چنان که در شکل‌های دو و سه مشاهده می‌شود، و الگوریتم سلسه مراتبی وارد نسبت به سایر الگوریتم‌ها گرایش بیشتری به تشکیل خوش‌هایی بزرگ و تعدادی خوش‌ی کوچک است. در نمودارهای جعبه‌ای مربوط به الگوریتم تک‌پیوند دامنه‌ی تعییرات اندازه‌ی خوش‌های تشکیل شده اغلب بزرگ‌تر از دامنه‌ی تعییرات اندازه‌ی خوش‌های سایر روش‌ها است.

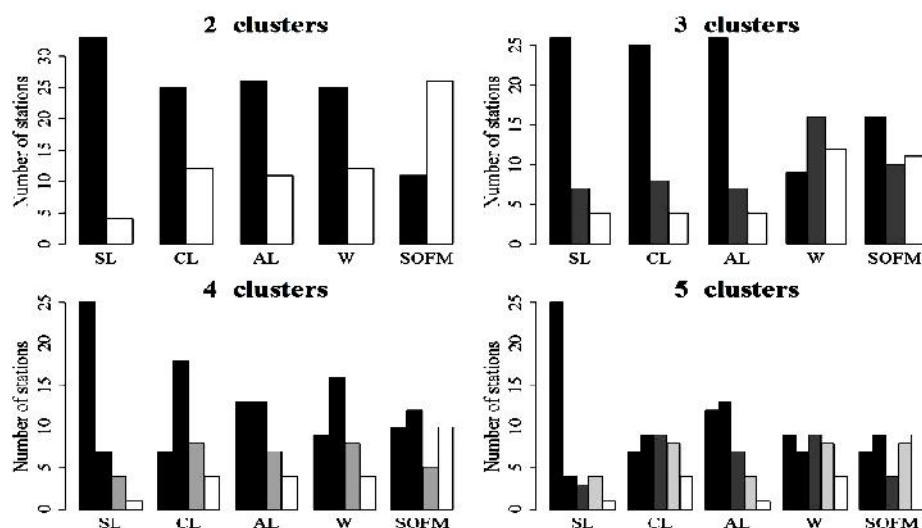
دارند یا جا به جایی محدود برخی ایستگاه‌ها بین خوش‌ها و یا باز تعریف مناطق در صورت نیاز، اصلاح شوند (۷).

برآورد چندگاهی سیلاپ

هدف این مرحله اجرای آزمون‌های نکوبی برآش منطقه‌ای برای تشخیص و برآش یک توزیع فراوانی سیلاپ مناسب بر داده‌های سیلاپ ایستگاه‌ها در یک منطقه است. توزیع برآش یافته، در نهایت برای به دست آوردن برآوردهای چندگاهی سیلاپ برای طراحی هیدرولوژیک استفاده می‌شوند. در این مطالعه به منظور شناسایی توزیع بهینه برای هر منطقه از شاخص نکوبی برآش $Z^{\text{DIST}} \leq 1.64$ استفاده شده است. چنان‌چه در یک منطقه برای توزیعی خاص (D^{DIST} ، باشد، آن توزیع می‌تواند به عنوان توزیع منطقه‌ای انتخاب شود. نزدیکتر بودن این مقدار به صفر می‌تواند نشان‌دهنده بهینه بودن انتخاب توزیع مورد نظر باشد (۷). در این مطالعه چگونگی برآش توزیع‌های سه پارامتری لجستیک تعیین یافته، مقادیر حدی تعیین یافته، نرمال تعیین یافته، پرسون تیپ III و پارتیوی تعیین یافته با استفاده از شاخص نکوبی برآش Z مورد بررسی قرار گرفته است. توزیع منتخب منطقه‌ای معمولاً با اعمال ضریبی مشخص برای هر ایستگاه تبدیل به توزیع ویژه‌ی آن ایستگاه می‌گردد. این ضریب می‌تواند متوسط دبی حداکثر لحظه‌ای هر ایستگاه باشد.

نتایج و بحث

پیش از بررسی وضعیت همگنی مناطق شاخص ناجوری برای شناسایی ایستگاه‌های ناجور محاسبه شد که از میان ۳۹ ایستگاه هیدرومتری مورد مطالعه، مقدار این شاخص برای دو ایستگاه از مقدار مجاز $D=3$ تجاوز کرد و این دو ایستگاه از ادامه فرآیند منطقه‌بندی و تحلیل فراوانی سیلاپ کنار گذاشته شدند.



شکل ۲- اندازه‌ی خوش‌ها یا مناطق تشکیل شده به‌وسیله‌ی الگوریتم‌های خوش‌بندی، SL، CL، AL، W و SOFM به ترتیب معرف الگوریتم‌های تک‌پیوند، تمام‌پیوند، پیوندمتوسط، الگوریتم وارد و نگاشت خودسازمانده هستند.

Figure 2. Sizes of clusters or regions formed by clustering algorithms; SL, CL, AL, W and SOFM denote Single Linkage, Complete Linkage, Average Linkage, Ward's algorithm and Self-Organizing Feature Map, respectively

1- Quantile

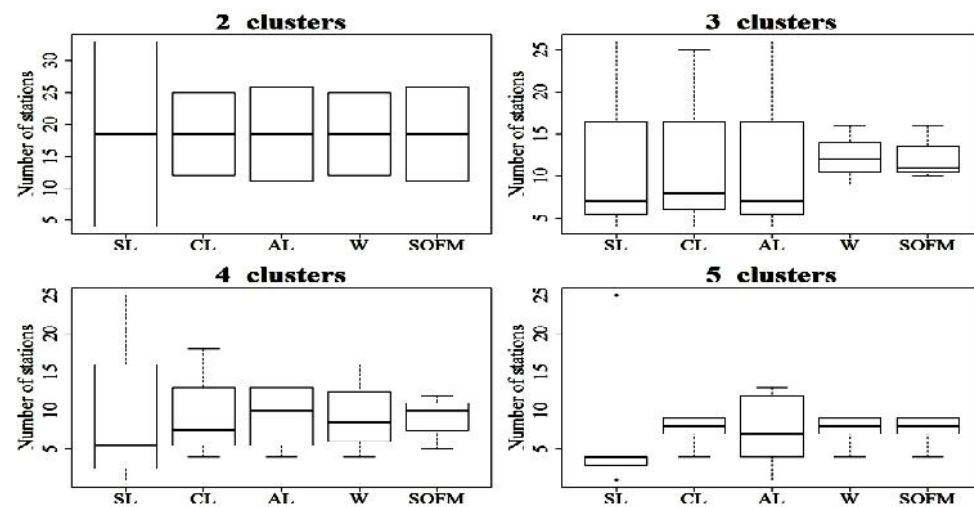
4- Generalized Normal (GNO)

2- Generalized Logistic (GLO)

5- Pearson type III (PE3)

3- Generalized Extreme Values (GEV)

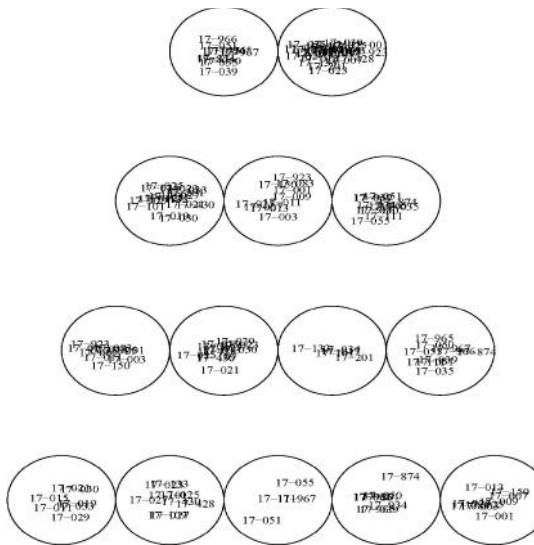
6- Generalized Pareto (GPA)



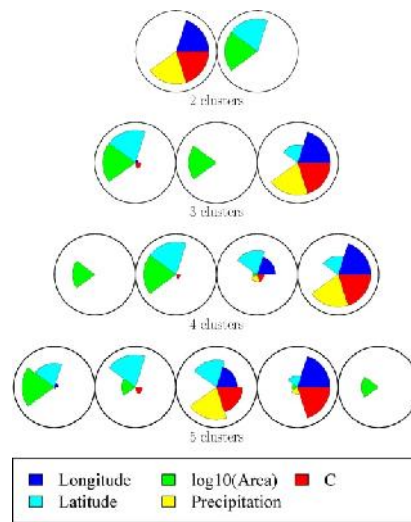
شکل ۳- نمودار جعبه‌ای اندازه‌ی مناطق تشکیل شده به‌وسیله‌ی الگوریتم‌های خوشبندی
Figure 3. Boxplot for sizes of regions formed by clustering algorithms

لگاریتم مساحت بزرگ هستند. اما گره دوم دارای وزن مقادیر جدید مقیاس شده‌ی طول جغرافیایی، بارندگی متوسط و ضریب رواناب بزرگ و وزن مقادیر تجدید مقیاس شده‌ی عرض جغرافیایی و لگاریتم طبیعی مساحت کوچک است. چگونگی وزن‌دهی ویژگی‌های تجدید مقیاس شده برای هر یک از گره‌های لایه‌ی خروجی در حالت‌های سه تا پنج منطقه‌ای نیز به صورت مشابه قابل بررسی و تفسیر است.

شکل چهار نحوه‌ی اختصاص ایستگاه‌های مورد بررسی به گره‌های لایه‌ی خروجی نگاشت خود سازمانده در هر یک از حالت‌های دو تا پنج منطقه‌ای را نشان می‌دهد که هر گره متناظر با یک منطقه است. هم‌چنین شکل پنج نشان‌دهنده‌ی وزن ویژگی‌های تجدید مقیاس شده ایستگاه‌های اختصاص یافته به هر گره در هر یک از مراحل دو تا پنج خوشبای است. برای نمونه، در حالت دو منطقه‌ای، ایستگاه‌های گره اول دارای وزن مقادیر تجدید مقیاس شده‌ی عرض جغرافیایی و



شکل ۴- اختصاص ایستگاه‌ها به گره‌های لایه‌ی خروجی نگاشت خودسازمانده. شماره‌ها معرف کد ایستگاه‌ها هستند. (عدد ۱۷ کد حوزه است)
Figure 4. Station assignment to output-layer of SOFM. The numbers represent station codes (The number 17 denotes the basin code.)



شکل ۵- وزن ویژگی‌های تجدید مقیاس شده در گره‌های لایه‌ی خروجی
Figure 5. Weights of rescaled attributes at output-layer nodes

به دست آمده برای شاخص‌های مختلف صحت خوش، یکدیگر را به طور کامل تأیید نمی‌کنند. همچنین اگر انتخاب یک حالت خوشبندی از نظر تعداد خوشه‌ها و الگوریتم خوشبندی به عنوان حالت بهینه مدنظر باشد، باز هم نتایج مربوط به شاخص‌های مختلف، مؤید یکدیگر نیستند.

در حالی که بهترین مقدار شاخص عرض نیم‌رخ مربوط به حالت سه خوشبندی الگوریتم‌های تکپیوند و پیوندمتوسط است، مقدار بهینه‌ی شاخص دیویس-بولدین متعلق به حالت پنج خوشبندی الگوریتم‌های تمام‌پیوند و وارد است، بهترین مقدار شاخص دان به حالت دو خوشبندی الگوریتم‌های پیوندمتوسط و SOFM و حالت سه خوشبندی الگوریتم‌های تکپیوند و پیوندمتوسط اختصاص دارد و در نهایت مقدار بهینه‌ی شاخص کالینسکی-هاراباز به حالت پنج خوشبندی الگوریتم‌های وارد و SOFM مربوط است.

پس از محاسبه‌ی شاخص‌های صحت خوش، مقادیر شاخص‌های ناهمگنی H_1 ، H_2 و H_3 برای تمامی مناطق تشکیل شده در حالت‌های دو تا پنج منطقه‌ای محاسبه شد. بر اساس نتایج به دست آمده، چنان‌چه شاخص H_1 مبنای قضایت در مورد همگنی و ناهمگنی مناطق تشکیل شده قرار گیرد، مطابق شکل هفت شرط همگنی < 1 برای تمامی مناطق تشکیل شده برقرار است و تنها منطقه‌ی اول تشکیل شده به وسیله‌ی الگوریتم تکپیوند در حالت دو منطقه‌ای و مناطق دوم ایجاد شده به وسیله‌ی الگوریتم‌های تکپیوند و تمام‌پیوند در حالت پنج منطقه‌ای هستند که این شرط را ارضا نمی‌کنند. با توجه به مقادیر شاخص H_2 که در شکل هشت به نمایش درآمده است، در حالت دو منطقه‌ای، هر دو منطقه‌ای تشکیل شده به وسیله‌ی الگوریتم تکپیوند ناهمگن هستند، اما در مورد تمامی مناطق تشکیل شده به وسیله‌ی سایر الگوریتم‌ها شرط < 1 برقرار است. در حالت سه منطقه‌ای، تنها در مورد الگوریتم وارد، شرط همگنی برای هر

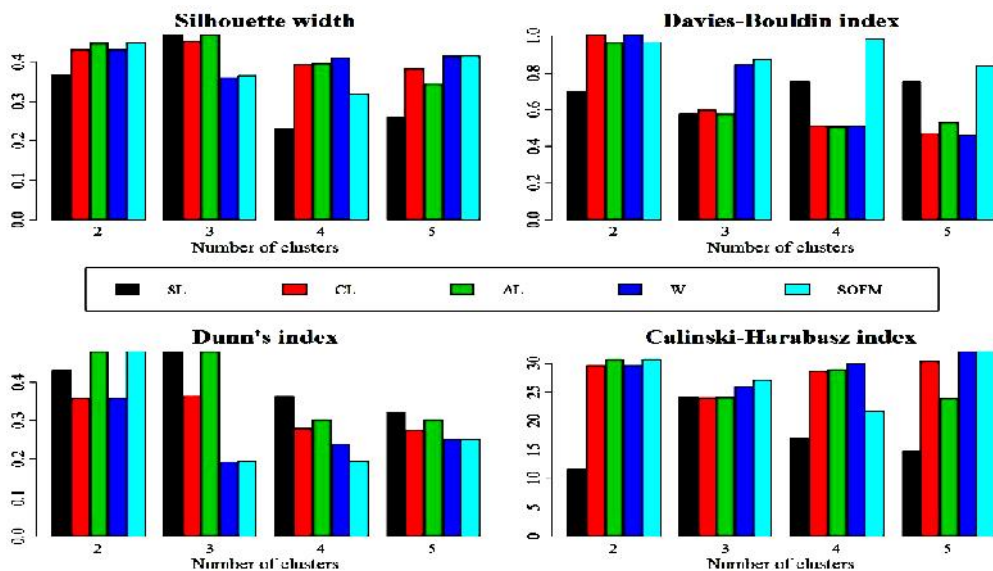
در ادامه مقدار چهار شاخص صحت خوش معرفی شده برای حالت‌های دو تا پنج خوشبندی محاسبه شد که نتایج به دست آمده در شکل شش منعکس شده است. بنا بر نتایج مندرج در این شکل، در حالت دو خوشبندی مقادیر شاخص‌های عرض نیم‌رخ، دان و کالینسکی-هاراباز حاکی از برتری خوشبندی حاصل از الگوریتم‌های پیوندمتوسط و SOFM هستند، در حالی که بر اساس شاخص دیویس-بولدین، الگوریتم تکپیوند در این حالت بهترین نتایج را حاصل می‌کند. در حالت سه خوشبندی، سه شاخص عرض نیم‌رخ، دان و دیویس-بولدین گویای برتری خوشبندی انجام شده به وسیله‌ی الگوریتم‌های تکپیوند و پیوندمتوسط هستند، در حالی که شاخص کالینسکی-هاراباز، خوشبندی مربوط به SOFM را برتر از سایر گزینه‌ها معرفی می‌کند. برای حالت چهار خوشبندی، شاخص‌های عرض نیم‌رخ و کالینسکی-هاراباز، گویای برتری خوشبندی تشکیل شده به وسیله‌ی الگوریتم وارد هستند. در این حالت شاخص دیویس-بولدین، خوشبندی ایجاد شده به وسیله‌ی الگوریتم پیوندمتوسط و شاخص دان خوشبندی تشکیل شده به وسیله‌ی الگوریتم تکپیوند را به عنوان خوشبندی بهینه شناسایی می‌کند. در نهایت، در حالت پنج خوشبندی، بر اساس شاخص‌های عرض نیم‌رخ و کالینسکی-هاراباز، الگوریتم وارد و SOFM خوشبندی بهینه را حاصل می‌کند، در حالی که بر مبنای مقادیر شاخص دیویس-بولدین، بهترین خوشبندی به وسیله‌ی الگوریتم‌های تمام‌پیوند و وارد ایجاد می‌شوند. در این حالت، شاخص دان، الگوریتم تکپیوند را تشکیل دهنده‌ی خوشبندی بهینه معرفی می‌کند.

بنا بر نتایج مربوط به شاخص‌های صحت خوش، امکان معرفی یکی از الگوریتم‌های مورد استفاده، به عنوان روش بهینه‌ی کلی برای خوشبندی بردارهای مشخصه‌ی ایستگاه‌های مورد مطالعه وجود ندارد. به این معنا که مقادیر

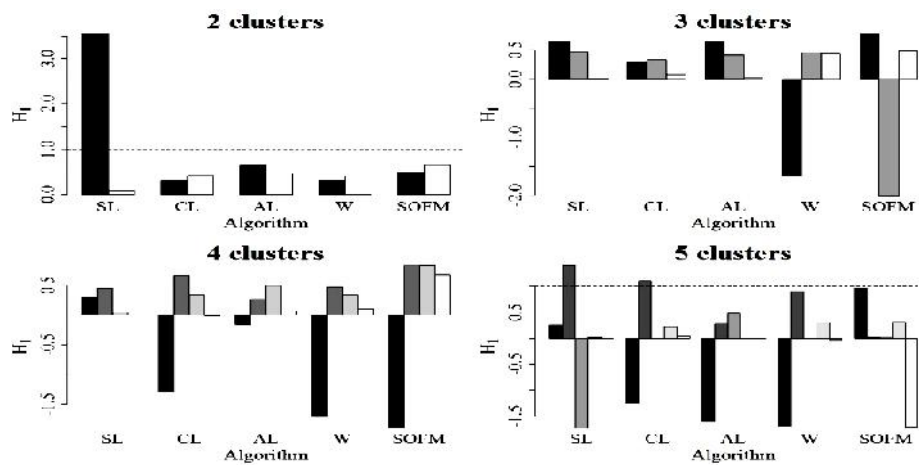
ویژگی‌های مورد استفاده در منطقه‌بندی و عوامل مؤثر بر مکانیزم تولید سیالاب در حوزه‌های آبخیز مختلف است. در مجموع در میان کلیه‌ی مناطق تشکیل شده به وسیله‌ی الگوریتم‌های مختلف در حالت‌های دو تا پنج منطقه‌ای، مناطق مربوط به حالت دو منطقه‌ای چهار الگوریتم تمام‌پیوند، پیوند متوسط، وارد و SOFM بر اساس هر سه شاخص H_3 ، همگن ارزیابی می‌شوند. این وضعیت در مورد هر سه منطقه‌ی حالت سه منطقه‌ای الگوریتم وارد نیز صادق است، بنابراین، حالت‌های مذکور می‌توانند برای ادامه‌ی اجرای فرآیند تحلیل فراوانی منطقه‌ای سیالاب مورد استفاده قرار گیرند. با این حال، از آن‌جا که مناطق تشکیل شده در حالت دو منطقه‌ای به طور متوسط نسبت به مناطق حالت سه منطقه‌ای بزرگ‌تر بوده و شامل داده‌های بیش‌تری هستند، لذا استفاده از آن‌ها، امکان برآورد سیالاب با دوره‌های بازگشت طولانی‌تر را فراهم می‌کند و در نتیجه نسبت به استفاده از مناطق حالت سه منطقه‌ای برتری دارد. بررسی بیش‌تر مناطق تشکیل شده در حالت دو منطقه‌ای نشان می‌دهد که در این حالت مناطق تشکیل شده توسط دو الگوریتم تمام‌پیوند و وارد یکسان بوده و مناطق ایجاد شده به وسیله‌ی دو الگوریتم پیوندمتوسط و SOFM نیز همسان هستند (فقط شماره‌ی مناطق تشکیل شده توسط دو الگوریتم اخیر متفاوت است). از این‌رو، مناطق حاصل از به کارگیری دو الگوریتم وارد و SOFM به عنوان نماینده‌گان حالت‌های مطلوب برای تکمیل فرآیند تحلیل فراوانی منطقه‌ای سیالاب مورد استفاده قرار گرفتند.

سه منطقه برقرار است و در مورد سایر الگوریتم‌ها، همواره یک منطقه‌ی ناهمگن تشکیل می‌شود، اگر چه میزان این ناهمگنی شدید نیست. در حالت‌های چهار و پنج منطقه‌ای همواره برای تمامی الگوریتم‌ها، حداقل یک منطقه با ناهمگنی جزئی دیده می‌شود. با نگاه به شکل نه که مقادیر شاخص H_3 در آن نشان داده شده است، در حالت دو منطقه‌ای، یکی از مناطق تشکیل شده به وسیله‌ی الگوریتم تک‌پیوند ناهمگن است، اما در مورد کلیه‌ی مناطق ایجاد شده توسط سایر الگوریتم‌ها شرط $H_3 < 1$ برقرار است. در حالت سه منطقه‌ای، شرط همگنی برای تمام مناطق تشکیل شده توسط الگوریتم‌ها وارد و SOFM برقرار است، اما در مورد سایر الگوریتم‌ها، همواره یک منطقه‌ی ناهمگن تشکیل می‌شود. در حالت چهار منطقه‌ای، تنها برای SOFM شرط همگنی هر چهار منطقه ارضاء می‌شود و در مورد سایر الگوریتم‌ها همواره یک منطقه‌ی ناهمگن مشاهده می‌شود. در حالت پنج منطقه‌ای همواره برای تمامی الگوریتم‌ها، حداقل یک منطقه با ناهمگنی جزئی دیده می‌شود.

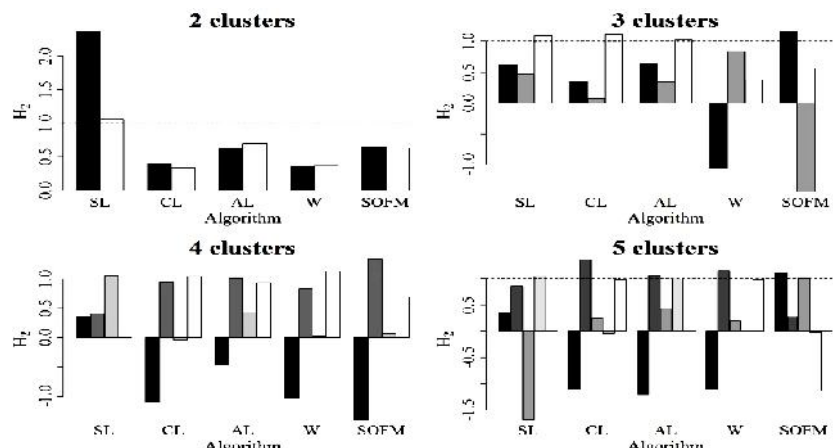
با توجه به نتایج مربوط به شاخص‌های ناهمگنی، می‌توان چنین نتیجه گرفت که به طور کلی الگوریتم وارد و SOFM در تشکیل مناطق همگن نسبت به سایر الگوریتم‌ها عملکرد بهتری دارند و در مقابل، الگوریتم تک‌پیوند ضعیفترین عملکرد را در زمینه‌ی ایجاد مناطق همگن در بین الگوریتم‌های مورد مطالعه از خود به نمایش می‌گذارد. البته باید توجه داشت که همگنی و ناهمگنی مناطق تشکیل شده، گذشته از الگوریتم خوشبندی تا حد زیادی متأثر از



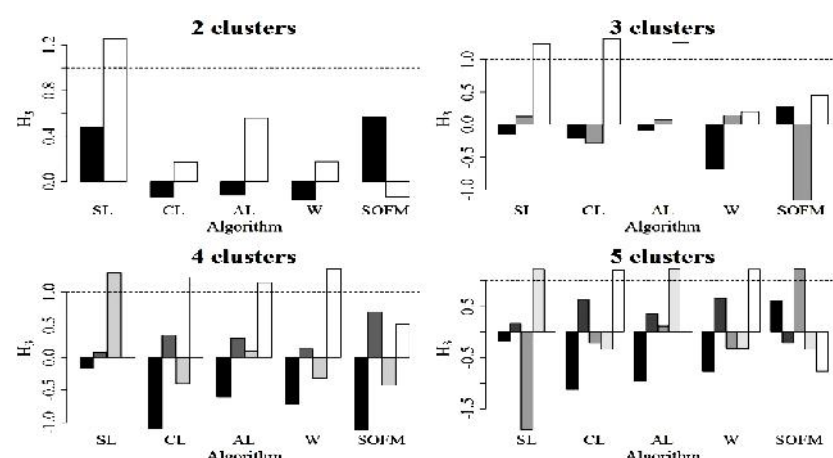
شکل ۶- مقادیر متوسط شاخص‌های صحت خوش برای تعداد دو، سه، چهار و پنج خوش
Figure 6. Average values of cluster validity measures for two, three, four and five clusters



شکل ۷- مقدار شاخص ناهمگنی H_1 برای مناطق تشکیل شده
Figure 7. The values of the heterogeneity measure H_1 for the formed region



شکل ۸- مقدار شاخص ناهمگنی H_2 برای مناطق تشکیل شده
Figure 8. The values of the heterogeneity measure H_2 for the formed region



شکل ۹- مقدار شاخص ناهمگنی H_3 برای مناطق تشکیل شده
Figure 9. The values of the heterogeneity measure H_3 for the formed region

اختلاف بین برآوردهای دو تحلیل منطقه‌ای اغلب بسیار ناچیز است، بهطوری که میانگین قدر مطلق اختلاف نسبی بین برآوردهای دو تحلیل منطقه‌ای کمی بیش از ۱٪ است. عمدۀ این اختلاف نیز مربوط به ایستگاه با کد ۱۷-۰۱ است که نقطه‌ی اختلاف دو الگوریتم در منطقه‌بندی است و اختلاف نسبی مربوط به آن نیز در برآورد سیلاپ در دو تحلیل منطقه‌ای در حدود ۲۴٪ است.

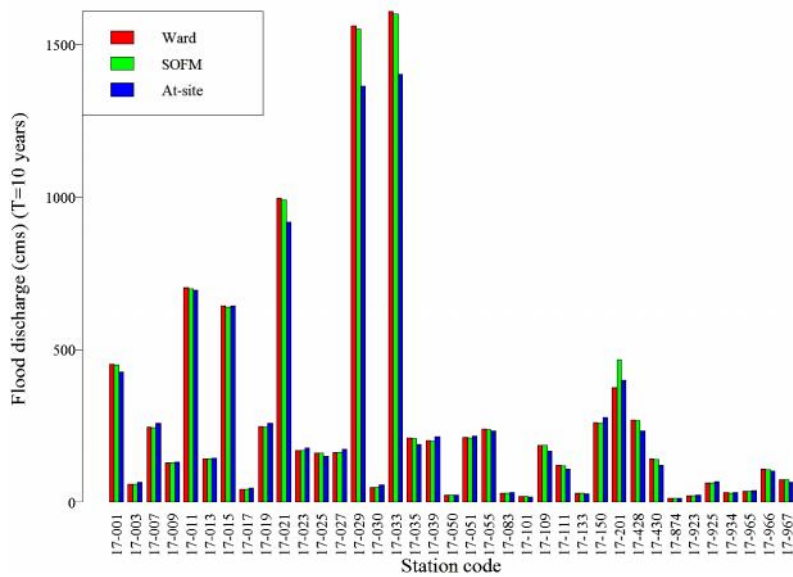
همچنین در شکل ۱۱ میزان اختلاف نسبی برآوردهای سیلاپ هر یک از تحلیل‌های منطقه‌ای با تحلیل نقطه‌ای در هر یک از ایستگاه‌ها نشان داده شده است که بنا بر نتایج به دست آمده مقدار میانگین قدر مطلق این اختلاف نسبی با برآوردهای نقطه‌ای برای برآوردهای هر یک از تحلیل‌های منطقه‌ای تقریباً برابر ۷٪ است. مطابق نتایج نشان داده شده در شکل ۱۱، در ۱۷ ایستگاه برآوردهای منطقه‌ای مقادیر بزرگتری اختیار می‌کنند و در ۱۸ ایستگاه برآوردهای نقطه‌ای مقادیر بزرگتری دارند. در دو ایستگاه نیز یک برآورد منطقه‌ای بزرگ‌تر و یک برآورد منطقه‌ای کوچک‌تر از برآورد نقطه‌ای است. لذا از این جیش نمی‌توان یک حکم کلی در مورد مقایسه‌ی بزرگی برآوردهای منطقه‌ای و نقطه‌ای صادر کرد. با این حال میانگین اختلاف نسبی بین برآوردهای منطقه‌ای و نقطه‌ای، حاکی از بزرگ‌تر بودن برآوردهای منطقه‌ای به میزان ۸٪ نسبت به برآوردهای نقطه‌ای است. شایان ذکر است که اختلاف بین برآوردهای منطقه‌ای و نقطه‌ای، چه در مقادیر مثبت و چه در مقادیر منفی، در هیچ‌یک از ایستگاه‌های مورد مطالعه از ۱۷٪ تجاوز نکرد.

در ادامه توزیع منطقه‌ای مناسب برای هر منطقه با توجه به شاخص نکویی برازش Z انتخاب شد. برای هر منطقه، توزیعی که نزدیک‌ترین مقدار Z به صفر را اختیار کرد، به عنوان توزیع منطقه‌ای انتخاب شد. در جدول دو، توزیع برگزیده برای هر منطقه ارائه شده است. سپس توزیع فراوانی سیلاپ برای هر حوزه یا ایستگاه با ضرب کردن میانگین داده‌های حداکثر سیلاپ لحظه‌ای آن ایستگاه در توزیع فراوانی مربوط به منطقه‌ای که ایستگاه در آن قرار گرفته است، حاصل شد. با استفاده از توزیع‌های ویژه‌ی ایستگاه‌ها، امکان برآورد سیلاپ با دوره‌ی بازگشت مشخص برای هر ایستگاه فراهم شد. به علاوه، یک مرتبه نیز برای هر ایستگاه تحلیل فراوانی نقطه‌ای تنها با استفاده از داده‌های سیلاپ همان ایستگاه صورت گرفت. با توجه به طول داده‌های آماری موجود، برآورد سیلاپ با دوره‌ی بازگشت ده سال به عنوان نمونه برای هر یک از ایستگاه‌ها انجام شد. این فرآیند یک مرتبه با استفاده از مناطق ایجاد شده توسط الگوریتم وارد و توزیع‌های متناظر این مناطق و یک بار هم بر اساس مناطق تشکیل شده به وسیله‌ی SOFM و توزیع‌های مربوط به آن‌ها به اجرا درآمد. نتایج تحلیل فراوانی نقطه‌ای برای دوره‌ی بازگشت مشابه نیز برای هر ایستگاه محاسبه شد. مقادیر برآورد شده سیلاپ با دوره‌ی بازگشت ده سال با استفاده از هر یک از این سه تحلیل، در شکل ده نشان داده شده است. از آنجا که مناطق تشکیل شده به وسیله‌ی دو الگوریتم وارد و SOFM بسیار شبیه به هم بوده و اختلاف آن‌ها تنها در حد جایه‌جایی یک ایستگاه است، آن‌چنان که در شکل ده مشاهده می‌شود،

جدول ۲- توزیع‌های منطقه‌ای برگزیده بر اساس شاخص نکویی برازش Z، برای مناطق تشکیل شده به وسیله‌ی SOFM و الگوریتم وارد در حالت دو منطقه‌ای

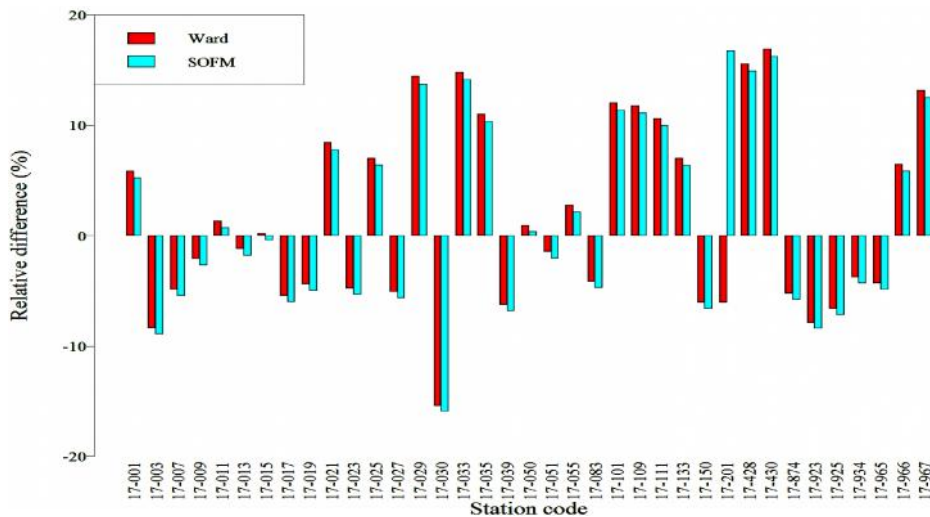
Table 2. Selected regional distributions based on the goodness-of-fit measure Z for the regions formed by SOFM and Ward's algorithm for 2-region state

الگوریتم	شماره‌ی منطقه	توزيع منطقه‌ای
SOFM	۱	پیرسون تیپ ۳
Ward	۲	مقادیر حدی تعیین‌یافته
	۱	نرمال تعیین‌یافته
	۲	پیرسون تیپ ۳



شکل ۱۰- برآورد سیلاب با دوره بازگشت ده سال با استفاده از تحلیل فراوانی نقطه‌ای و تحلیل فراوانی منطقه‌ای بر اساس دو منطقه‌ی تشکیل شده به وسیله‌ی الگوریتم وارد و دو منطقه‌ی تشکیل شده به وسیله‌ی SOFM

Figure 10. Flood estimates with ten-year return period by using at-site frequency analysis and regional frequency analysis based on two regions formed by Ward's algorithm and two regions formed by SOFM



شکل ۱۱- مقایسه‌ی برآوردهای سیلاب با دوره بازگشت ده سال برای ایستگاه‌های مورد مطالعه

Figure 11. Comparison of the flood estimates with ten-year return period for the interested stations

استفاده از نگاشت‌های خودسازمانده، نتایج نسبتاً نزدیکی را نسبت به برآوردهای سیلاب حاصل از تحلیل فراوانی نقطه‌ای حاصل کردن و لذا به نظر می‌رسد در صورت وجود ایستگاه‌های قادر آمار هیدرومتری، می‌توان با استفاده از تحلیل فراوانی منطقه‌ای بر اساس این روش منطقه‌بندی، سیلاب با دوره‌های بازگشت مورد نظر را به شکلی نسبتاً قابل اطمینان برای آن ایستگاه‌ها برآورد کرد. افزون بر این موارد، نتایج به دست آمده گویای آن است که شاخص‌های صحت

در نهایت بنا بر نتایج به دست آمده در این مطالعه، می‌توان چنین نتیجه گرفت که نگاشت‌های خودسازمانده کوهونن در مقایسه با روش‌های معمول خوشبندی حوزه‌های حصول نتایج قابل قبولی را در زمینه‌ی منطقه‌بندی حوزه‌های آبخیز دارا هستند و از این‌رو می‌توانند به عنوان ابزاری کارآمد در فرآیند تحلیل فراوانی منطقه‌ای مورد توجه قرار گیرند. همچنین همان‌طور که مشاهده شد، برآوردهای سیلاب حاصل از تحلیل فراوانی منطقه‌ای مبتنی بر منطقه‌بندی با

تأثیر انتخاب این ویژگی‌ها توصیه می‌شود. چرا که عدم دسترسی به اطلاعات قبل اطمینان از ویژگی‌های متعدد حوزه‌ها از جمله محدودیت‌های مطالعه‌ی حاضر بود. همچنین استفاده از پیکربندی‌های دیگر شبکه‌ی کوهون و بهویژه حالت دوبعدی و مطالعه‌ی اثر آن بر تغییر مناطق تشکیل شده به ویژه در نواحی مطالعاتی بزرگ‌تر و شامل زیرحوزه‌ها و ایستگاه‌های بیشتر می‌تواند محل تحقیق و پژوهش بیشتر باشد.

خوش به تنهایی نمی‌توانند تعیین کننده منطقه‌بندی مطلوب برای اجرای تحلیل فراوانی منطقه‌ای باشند و عامل اصلی در تعیین منطقه‌بندی مطلوب، همگنی مناطق تشکیل شده است که وضعیت آن بر اساس شاخص‌های ناهمگنی مشخص می‌شود. با توجه به موارد ذکر شده، برای مطالعات آینده آزمودن تکنیک‌های خوش‌بندی از جمله نگاشته‌های خودسازمانده برای منطقه‌بندی حوزه‌های آبخیز با استفاده از ویژگی‌های متعدد و گسترده‌تر هواشناسی، فیزیوگرافیک، زمین‌شناسی، پوشش گیاهی، کاربری اراضی و غیره و بررسی

منابع

1. Ahani, A., S. Emamgholizadeh, S.S. Mousavi Nadoushani and K. Azhdari. 2015. Regional Flood Frequency Analysis by Hybrid Cluster Analysis and L-moments. *Journal of Watershed Management Research*, 6: 11-20.
2. Di Prinzio, M., A. Castellarin and E. Toth. 2011. Data-Driven Catchment Classification: Application to the Pub Problem. *Hydrology and Earth System Sciences*, 15: 1921-1935.
3. Hall, M.J. and A.W. Minns. 1998. Regional Flood Frequency Analysis Using Artificial Neural Network. In: Babovic, V. and L.C. Larsen (eds.), *Proceedings of the Third International Conference on Hydro informatics* (Copenhagen, Denmark), 2: 759-763.
4. Hall, M.J. and A.W. Minns. 1999. The Classification of Hydrologically Homogeneous Regions. *Hydrological Sciences Journal*, 44: 693-704.
5. Hall, M.J., A.W. Minns and A.K.M. Ashrafuzzaman. 2002. The Application of Data Mining Techniques for the Regionalization of Hydrological Variables. *Hydrology and Earth System Sciences*, 6: 685-694.
6. Haykin, S. 2009. *Neural Networks: A Comprehensive Foundation*. Pearson Education, Inc. 906 pp.
7. Hosking, J.R.M. and J.R. Wallis. 1997. *Regional Frequency Analysis: An Approach Based on L-Moments*. Cambridge University Press, New York, USA. 224 pp.
8. Jingyi, Z. and M.J. Hall. 2004. Regional Flood Frequency Analysis for the Gan-Ming River Basin in China. *Journal of Hydrology*, 296: 98-117.
9. Kar, A.K., N.K. Goel, A.K. Lohani and G.P. Roy. 2012. Application of Clustering Techniques Using Prioritized Variables in Regional Flood Frequency Analysis - Case Study of Mahanadi Basin. *Journal of Hydrologic Engineering- ASCE*, 17: 213-223.
10. Kohonen, T. 1982. Self-Organized Formation of Topologically Correct Feature Maps. *Biological Cybernetics*, 43: 59-69.
11. Kohonen, T. 2001. *Self-Organizing Maps*. 3rd Extended Edn. Springer Verlag, Berlin, GERMANY, 501 pp.
12. Ley, R., M.C. Casper, H. Hellebrand and R. Merz. 2011. Catchment Classification by Runoff Behavior with Self-Organizing Maps (SOM). *Hydrology and Earth System Sciences* 15: 2947-2962.
13. Lin, G.F. and L.H. Chen. 2006. Identification of Homogeneous Regions for Regional Frequency Analysis Using the Self-Organizing Map. *Journal of Hydrology*, 324: 1-9.
14. Rao, A.R. and V.V. Srinivas. 2008. Regionalization of Watersheds-An Approach Based on Cluster Analysis, Series: Water Science and Technology Library, 248 pp.
15. Razavi, T. and P. Coulibaly. 2014. Classification of Ontario Watersheds Based on Physical Attributes and Streamflow Series. *Journal of Hydrology*, 493: 81-94.
16. Rousseeuw, P.J. 1987. Silhouettes: A graphical aid to the interpretation and validation of cluster analysis. *Journal of Computational and Applied Mathematics*, 20: 53-65.
17. Srinivas, V.V., S. Tripathi, A.R. Rao and R.S. Govindaraju. 2008. Regional Flood Frequency Analysis by Combining Self-Organizing Feature Map and Fuzzy Clustering. *Journal of Hydrology*, 348: 148-166.
18. Tabatabaei, M., K. Solaimani, M. Habibnejad Roshan and A. Kavian. 2014. Estimation of Daily Suspended Sediment Concentration using Estimation of Daily Suspended Sediment Concentration by Self-Organizing Map (Case Study: Sierra Hydrometry Station- Karaj Dam Watershed). *Journal of Watershed Management Research*, 5: 98-116.
19. Toth, E. 2013. Catchment Classification Based on Characterisation of Streamflow and Precipitation Time Series. *Hydrology and Earth System Sciences*, 17: 1149-1159.
20. Willshaw, D.J. and C. Von Der Malsburg. 1976. How Patterned Neural Connections Can be Set up by Self Organization. *Proceedings of Royal Statistical Society London B*, 194: 431-445.

Regionalization of Watersheds Using a Type of ANNs to Regional Flood Frequency Analysis

**Ali Ahani¹, Samad Emamgholizadeh², Seyyed Saeid Mousavi Nadoushani³ and
Khalil Azhdari²**

1- M.Sc. Student, Shahrood University of Technology,
(Corresponding author: ali.ahani66@yahoo.com)

2 - Associate Professor, Shahrood University of Technology

3- Assistant Professor, Shahid Beheshti University

Received: May 22, 2014 Accepted: October 14, 2015

Abstract

Self-Organizing Feature Maps (SOFM) are a variety of artificial neural networks that their applications in the areas of pattern recognition and data clustering makes them noticeable tools to perform regional flood frequency analysis (RFFA). In this study, ability of Self-Organizing Feature Maps for regionalization of Sefidrood watershed in order to perform regional flood frequency analysis using L-moment algorithm is assessed. Results of this study show that SOFMs may be used as an acceptable method for data clustering and regionalization of watersheds. Evaluation of values of cluster validity measures showed that they can't be a determining factor to identify suitable number of regions for regional flood frequency analysis, but homogeneity of regions is main factor to determine desirable number of regions. According to homogeneity of regions and sizes of formed regions, regionalizations including two regions that formed by Ward's algorithm and SOFM were chosen as optimum choices to regional flood frequency analysis on Sefidrood watershed. Furthermore, based on results of flood estimation by at-site FFA and two RFFA, regional estimates are very close to each other and their average relative difference is equal to 1% nearly. Also relative difference between regional and at-site estimates doesn't exceed 17% in any station and its mean value is about 8%.

Keywords: Clustering, L-moments, Regionalization, SOFM